

Fig. 01

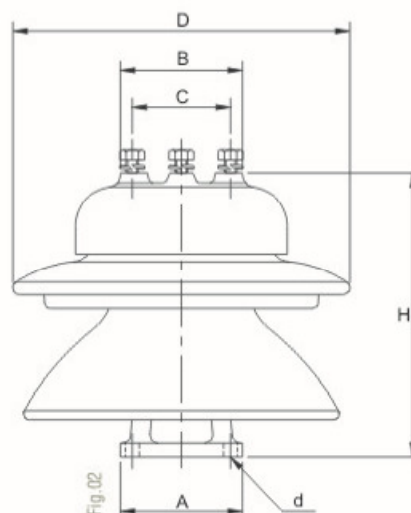


Fig. 02

Referência nova		<i>New reference</i>	808.1401	808.1402		
Referência antiga		<i>Old reference</i>	23.460 fig.01	23.470 fig.02		
Normal NBR 6882		<i>NBR 6882 class</i>	PD-3200-200-B	PD4500-200-B		
Normal ANSI C29.8		<i>ANSI C29.8 class</i>	TR-140	TR-141		
TENSÃO / TENSION	Suportável de impulso atmosférico - a seco	<i>Lightning impulse withstand voltage - dry</i>	kV	210	210	
	Suportável em frequência industrial - sob chuva	<i>Low-frequency withstand voltage - wet</i>	kV	75	75	
	Crítica de impulso atmosférico - positivo	<i>Critical impulse flashover voltage - positive</i>	kV	235	235	
	Perfuração em frequência industrial	<i>Low-frequency puncture voltage</i>	kV	215	215	
	Aplicada do ensaio de RI	<i>Radio-influence test voltage</i>	kV	22	22	
	Máxima de RI	<i>Maximum radio-influence voltage</i>	μV	100	100	
CARGA / STRENGTH	Ruptura à flexão no topo - fixação na base	<i>Top cantilever strength-base fastened</i>	kN	32,0	45,0	
	Ruptura à flexão na base - fixação no topo	<i>Base cantilever strength-top fastened</i>	kN	18,0	27,0	
	Ruptura à compressão	<i>Compression strength</i>	kN	266,9	333,6	
	Ruptura à tração	<i>Tensile strength</i>	kN	88,9	111,2	
	Ruptura à torção	<i>Torsional strength</i>	kN.m	4,5	10,2	
Distância de escoamento		<i>Leakage (creepage) distance</i>	mm	840	840	
Altura	H	<i>Height</i>	mm	368	368	
DIÂMETRO / DIAMETER	Nominal	D	<i>Diameter</i>	mm	435	460
	Campânula	B	<i>Top cap diameter</i>	mm	158	158
	Círculo de furação - base/topo	C	<i>Bolt circle diameter - base / top</i>	mm	127	127
	Base	A	<i>Base diameter</i>	mm	158	158
	Furos da base	d	<i>Base holes diameter</i>	mm	18	18
	Rosca ISO x comprimento dos parafusos		<i>Bolt ISO thread x length</i>	mm	M16x35	M16x35
	Rosca UNC x comprimento dos parafusos		<i>Bolt UNC thread x length</i>	in	5/8x1 3/8	5/8x1 3/8
Peso líquido por peça		<i>Unit net weight</i>	kg	41,00	49,00	